

1、带有未知扰动的不确定时变系统

$$\dot{x}^{(n)} = f(x, \dot{x}, \dots, x^{(n-1)}, w(t)) + b(t)u \quad (4.24)$$

其中, f, w, b 均为不确定函数, 但 $0 < b_1 < b(t) < b_2$ 。若取 $b(t)$ 变化范围内的某一中间值 b_0 , 那么上式可以改写成:

$$\dot{x}^{(n)} = f(x, \dot{x}, \dots, x^{(n-1)}, w(t)) + (b(t) - b_0)u + b_0u \quad (4.25)$$

这里可把 $(b(t) - b_0)u$ 当作新的“扰动”项。实际上, 扩张状态观测器的输出 $z_{n+1}(t)$, 当 $|b(t) - b_0|u$ 不甚大时, 能较好地估计出实时作用量

$$a(t) = f(x, \dot{x}, \dots, x^{(n-1)}, w(t)) + (b(t) - b_0)u \quad (4.26)$$

从而能用 b_0u 来实现自抗扰控制, 即用 $z_{n+1}(t)/b_0$ 来实现对 $a(t)$ 的补偿。

2、多变量系统解耦控制

$$\begin{cases} \ddot{y}_1 = f_1(y_1, \dot{y}_1, y_2, \dot{y}_2, w_1(t)) + b_{11}(t)u_1 + b_{12}(t)u_2 \\ \ddot{y}_2 = f_2(y_1, \dot{y}_1, y_2, \dot{y}_2, w_2(t)) + b_{21}(t)u_1 + b_{22}(t)u_2 \end{cases} \quad (4.27)$$

式中, f_1, f_2 均为不确定函数, $w_1(t), w_2(t)$ 为未知外扰。令

$$\begin{cases} U_1 = b_{11}(t)u_1 + b_{12}(t)u_2 \\ U_2 = b_{21}(t)u_1 + b_{22}(t)u_2 \end{cases}, B(t) = \begin{bmatrix} b_{11}(t) & b_{12}(t) \\ b_{21}(t) & b_{22}(t) \end{bmatrix} \quad (4.28)$$

在此假定 $B(t)$ 可逆, 如果 $B(t)$ 已知, 那么 U_1 和 U_2 分别把

$$\begin{cases} a_1(t) = f_1(y_1, \dot{y}_1, y_2, \dot{y}_2, w_1(t)) \\ a_2(t) = f_2(y_1, \dot{y}_1, y_2, \dot{y}_2, w_2(t)) \end{cases} \quad (4.29)$$

当作各自的系统扰动而实现自抗扰控制, 这样就能实现解耦控制。

如果 $B(t)$ 不确定, 则在 $B(t)$ 的变化范围内取一可逆矩阵 B_0 , 并把 $(B(t) - B_0) \begin{bmatrix} u_1 \\ u_2 \end{bmatrix}$ 当作系统新的外扰项。若矩阵 $B(t) - B_0$ 不甚大, 那么就能用 U_1 和 U_2 分别实现各自通道的自抗扰控制, 从而最终实现解耦控制。

§ 4.3 基于 ADRC 的飞行控制系统设计

ADRC 能够动态补偿系统模型扰动和外扰, 鲁棒性很强, 可应用于多种非线性系统的控制。到目前为止, ADRC 已在许多复杂的非线性控制问题中得到成功的应用, 如: 战斗机超机动飞行控制^[40-41]、船舶减摇鳍控制^[42]、某型导弹控制^[43]等。

本节将针对微小型四旋翼无人直升机这样一个非线性、不确定性的耦合系统, 利用 ADRC 理论设计飞行控制律。

§ 4.3.1 动力学模型

根据式 (3.29) ~ (3.31) 和 (3.34), 若认为偏航角 ψ 一直都很小, 则可得进一步简化的微小型四旋翼无人直升机动力学模型^[22]:

$$\begin{cases} \ddot{x} = -\frac{1}{m}U_1 \sin \theta \\ \ddot{y} = \frac{1}{m}U_1 \sin \phi \\ \ddot{z} = g - \cos \theta \cos \phi \frac{1}{m}U_1 \end{cases} \quad (4.30)$$

$$\begin{cases} \ddot{\phi} = -\frac{J_{rotor}}{I_u}\Omega\dot{\theta} + \frac{I_v - I_w}{I_u}\dot{\theta}\dot{\psi} + \frac{l}{I_u}U_2 \\ \ddot{\theta} = \frac{J_{rotor}}{I_v}\Omega\dot{\phi} + \frac{I_w - I_u}{I_v}\dot{\phi}\dot{\psi} + \frac{l}{I_v}U_3 \\ \ddot{\psi} = \frac{I_u - I_v}{I_w}\dot{\phi}\dot{\theta} + \frac{1}{I_w}U_4 \end{cases} \quad (4.31)$$

上式中各变量的定义见本文 §3.3.1。

§ 4.3.2 飞行控制系统设计及其稳定性分析

对于 (4.30) ~ (4.31) 这样一个欠驱动系统, 其四个直接驱动通道都可以看成是带有未知扰动的不确定对象, 根据 § 4.2.4 可知, 能够利用 ADRC 方法对它们进行控制。此时, 飞行器的姿态和高度可控, 但系统还存在零动态, 即飞行器在 $x-y$ 平面内的位置不可控。由于俯仰、横滚转动分别会引起飞行器沿 x 、 y 方向运动, 在 ADRC 的控制之下, 飞行器将会在水平面内漂移。为此, 采用 PD-ADRC 双闭环控制器, 对飞行器在 $x-y$ 平面内的位置进行控制, 使其在空中悬停。

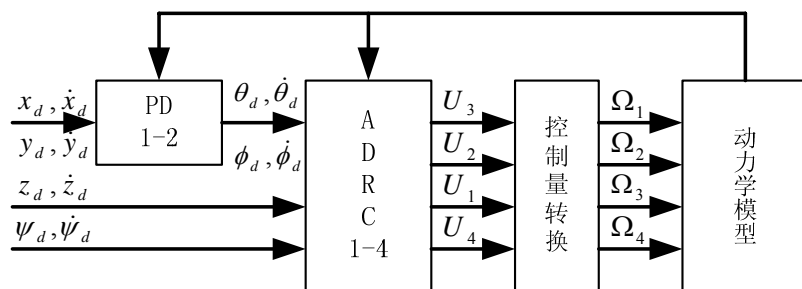


图 4.2 基于 ADRC 的飞行控制系统结构

基于 ADRC 的微小型四旋翼无人直升机控制系统如图 4.2, 它可分为 $x-\theta$ 、 $y-\phi$ 、 z 和 ψ 四个通道, 其中 $x-\theta$ 和 $y-\phi$ 采用 PD-ADRC 双闭环控制。ADRC 是一种不基于对象模型的控制方法, 因而不需要针对具体的对象来分析控制系统的稳定性。由于本文已在 § 4.2.1 和 § 4.2.3 中对 ADRC 的稳定性进行了分析, 这里只需要分析 PD-ADRC 双闭环控制

器的稳定性。

下面以 $x-\theta$ 通道为例, 说明双闭环控制器的设计方法, 并利用 Lyapunov 稳定性理论分析其稳定性^[25,44]。

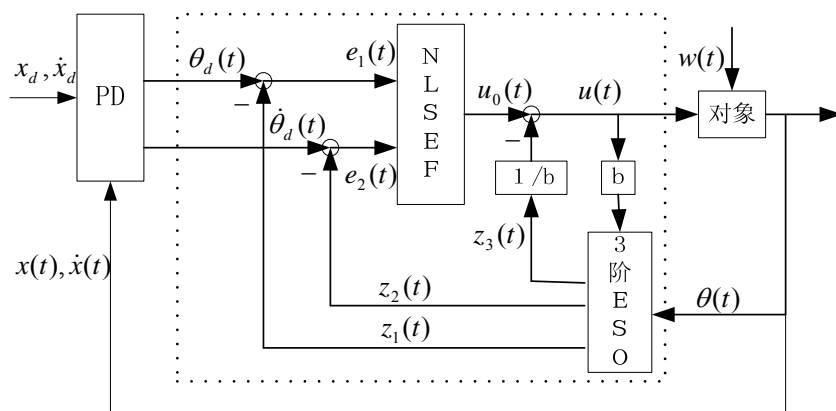


图 4.3 $x-\theta$ 通道 PD-ADRC 控制器

$x-\theta$ 双闭环控制器结构如图 4.3, 内环采用 ADRC 控制算法, 外环采用 PD 控制^[22]。分析上述系统的稳定性时, 为了简便, 可以假设 $x_d = \dot{x}_d = 0$ 、 $m = l = I_v = 1$ 。

外环 PD 控制器为: $\ddot{x} = -K_p x - K_d \dot{x} = -U_1 \sin \theta$, 从而

$$\theta_d = \arcsin \frac{K_p x + K_d \dot{x}}{U_1} = \arcsin(K_{p1} x + K_{d1} \dot{x}) \quad (4.32)$$

$$\dot{\theta}_d = \frac{K_{p1} \dot{x} + K_{d1} \ddot{x}}{\sqrt{1 - K_{p1}^2 x^2 - 2K_{p1} K_{d1} x \dot{x} - K_{d1}^2 \dot{x}^2}} \quad (4.33)$$

根据 § 4.2.1 的内容, 由式 (4.3)、(4.4) 和 (4.23) 可得: $\ddot{\theta} = bu_0 = u_0$, 即

$$\ddot{\theta} = \beta_1 \text{fal}(e_1, \alpha_1, \delta) + \beta_2 \text{fal}(e_2, \alpha_2, \delta) \quad (4.34)$$

其中, $e_1 = \arcsin(K_{p1} x + K_{d1} \dot{x}) - \theta$, $e_2 = \frac{K_{p1} \dot{x} + K_{d1} \ddot{x}}{\sqrt{1 - K_{p1}^2 x^2 - 2K_{p1} K_{d1} x \dot{x} - K_{d1}^2 \dot{x}^2}} - \dot{\theta}$, $\text{fal}(\bullet)$ 函数的定义见式 (4.20), 它与 e 同号。

针对空中悬停这一控制目标, 可以取 x 轴方向上的动能: $L = \frac{1}{2} \dot{x}^2$ 为 Lyapunov 函数, 则需要通过检验 L 沿 (4.34) 式的导数是否为负来判定平衡点的稳定性。

$$\dot{L} = \dot{x} \ddot{x} = -U_1 \dot{x} \sin \theta \quad (4.35)$$

上式中, U_1 恒正, 则只有当 \dot{x} 与 θ 同号时, 才有 $\dot{L} < 0$ 。

当 $\dot{x} < 0$ 时, 有以下情况:

(1) $\theta < 0 \Rightarrow \dot{L} < 0$

(2) $\theta > 0$, 根据本文图 2.6 中的坐标系定义以及微小型四旋翼无人直升机的物理特性, 必有 $\ddot{x} < 0$ 。

① $\dot{\theta} < 0 \xrightarrow{t \rightarrow \infty} \theta < 0 \Rightarrow \dot{L} < 0$

② $\dot{\theta} > 0$

a) $x < 0$, 则可得 $e_1 < 0, e_2 < 0$, 从而由 (4.34) 有 $\ddot{\theta} < 0$, 进一步推导可得

$$t \rightarrow \infty \Rightarrow \theta < 0 \Rightarrow \dot{L} < 0$$

b) $x > 0$, 则有 $\dot{x} < 0, \ddot{x} < 0 \xrightarrow{t \rightarrow \infty} x < 0$, 此时由 a) 可得 $\dot{L} < 0$ 。

$\dot{x} > 0$ 的情况与上类似, 因此式(4.35)中 \dot{x} 与 θ 同号, 从而 Lyapunov 函数 L 沿系统(4.34)的导数为负。因此, 飞行器沿 x 轴方向上的动能将持续衰减至零, 即有 $t \rightarrow \infty \Rightarrow \dot{x} \rightarrow 0$ 。

$y-\phi$ 通道控制器的情况与 $x-\theta$ 通道类似, 这里不再赘述。

以上分析说明, 在 PD-ADRC 控制之下, 飞行器最终将悬停于 $x-y$ 平面内的某一位置, 但最终悬停位置未知。这一问题将在 § 4.4.2 中, 通过仿真实验进行检验和分析。

§ 4.3.3 ADRC 算法及其参数整定原则

根据 § 4.3.1, ADRC 的控制对象均为“二阶非线性不确定对象”。下面将针对二阶非线性不确定对象, 阐述 ADRC 算法^[31], 并给出其参数整定原则^[45-46]。

被控对象: $\ddot{x} = f(x, \dot{x}, w, t) + bu, \quad y = x$

1、安排过渡过程(TD)

v_0 为设定值,

$$\begin{cases} v_1(k+1) = v_1(k) + hv_2(k) \\ v_2(k+1) = v_2(k) + hfst(v_1(k) - v_0, v_2, r, h_0) \end{cases} \quad (4.36)$$

2、估计状态总扰动(ESO)

$$\begin{cases} \varepsilon_1 = z_1(k) - y(k) \\ z_1(k+1) = z_1(k) + h[z_2(k) - \beta_{01}\varepsilon_1] \\ z_2(k+1) = z_2(k) + h[z_3(k) - \beta_{02}fal(\varepsilon_1, \alpha_1, \delta) + bu(k)] \\ z_3(k+1) = z_3(k) - h\beta_{03}fal(\varepsilon_1, \alpha_2, \delta) \end{cases} \quad (4.37)$$

3、控制量的形成(NLSEF)

$$\begin{aligned} e_1 &= v_1(k) - z_1(k), \\ e_2 &= v_2(k) - z_2(k), \\ u_0 &= \beta_{01}fal(e_1, \alpha_1, \delta) + \beta_{02}fal(e_1, \alpha_2, \delta), \\ u(k) &= u_0 - z_3(k)/b \end{aligned} \quad (4.38)$$

其中, $fst(\bullet)$ 、 $fal(\bullet)$ 的定义分别见式 (4.13) 和 (4.20)。

该控制算法只需对象的输入输出数据 $u(k)$ 、 $y(k)$ 。

ADRC 算法确定的情况下, 其控制性能主要取决于参数的合理选取。ADRC 的模型算法中, 需要设定的参数较多, 必须要有一定的参数选取原则。对于二阶对象, ADRC 参数选取原则如下:

1、TD 参数整定

TD 的参数包括：快速因子 r 和滤波因子 h_0 。

r 越大，跟踪速度越快，但噪声放大也越厉害； h_0 越大，滤波效果越好，但跟踪信号的相位损失也越大。为了获得较好的滤波效果，应协调调整 r 和 h_0 。

2、ESO 参数整定

ESO 共有 α_1 、 α_2 、 δ 、 β_{01} 、 β_{02} 和 β_{03} 六个参数。

α_1 一般取 0.5， α_2 为 0.25，以便于实际系统实现。

δ 为 fal 函数的线性区间宽度，用来避免误差特性曲线在接近零点处的斜率过大，从而消除高频脉动的产生。实际系统中，一般取为 0.01 左右。

β_{01} 、 β_{02} 和 β_{03} 为状态误差反馈的反馈增益，主要影响 ESO 的收敛速度。参数越大对扰动估计的滞后越小，收敛越快。但如果取值过大，会出现观测器的震荡现象，对噪声的抑制作用也相对减弱。根据文献[45]，当控制周期 h 确定时，取 $\beta_{01} \approx \frac{1}{h}$ ， $\beta_{02} \approx \frac{1}{1.6h^{1.5}}$ ，

$\beta_{03} \approx \frac{1}{8.6h^{2.2}}$ ，则 ESO 可以很好地估计 $v < \frac{1}{4h}$ 范围的扰动。

3、NLSEF 参数整定

由于扩张状态观测器对扰动的估计和补偿作用，在扰动幅值不很大、变化不很剧烈的情况下，完全可以实现精确补偿。所以可在假设扰动为零的情况下，对控制器的 β_1 和 β_2 进行初始值设定。其参数整定原则如下：

1) 根据 b_0 确定参数 β_1 和 β_2 的初始值。 b_0 较大时， β_1 和 β_2 取较小值； b_0 较小时， β_1 和 β_2 取较大值。

2) 当 $b_0 < 100$ 时，可使 b_0 和 β_1 的乘积近似为 100；当 $b_0 > 100$ 时，可使 b_0 和 β_1 的乘积近似为 20。

3) 当 $\beta_1 > 1$ 时， β_1 近似为 β_2 的 10 倍；当 $\beta_1 < 1$ 时， β_1 近似为 β_2 的 1/100。

按上述规律可初步调整出较好的控制效果。这里只给出一种方法，参数大小的其他组合方式也能达到类似的效果。

要获得更好的控制性能，还应根据具体对象进一步调整。在扰动幅值很大、变化很剧烈的情况下，扩张状态观测器不能完全实现精确补偿，还需对 β_1 和 β_2 进一步整定。

4) 适当增大参数 β_2 ，可以抑制过渡过程中出现的超调。

5) 适当增大参数 β_1 ，可以加快响应速度，缩短过渡过程。

对控制器参数的进一步整定只能在一定范围内改善控制性能，一般可作为微调使用。

§ 4.4 仿真结果与分析

自行设计、制作的原型样机的主要参数见表 3.1，我们针对它建立了整个飞行控制